

УДК 539.3

## ОБ ОДНОМ СПОСОБЕ ОПРЕДЕЛЕНИЯ ПЬЕЗОМОДУЛЯ ПРИ НЕОДНОРОДНОЙ ПОЛЯРИЗАЦИИ СТЕРЖНЯ

А. О. Ватульян, А. Н. Соловьев\*

Ростовский государственный университет, 344090 Ростов-на-Дону

\* Донской государственный технический университет, 344010 Ростов-на-Дону

Предлагается способ определения функции располяризации пьезокерамического стержня при задании амплитудно-частотной характеристики тока. Задача сведена к нелинейному интегральному уравнению, которое решается на основе сочетания методов линеаризации и регуляризации А. Н. Тихонова. Доказана единственность решения, проведена серия численных экспериментов по определению закона поляризации.

В последнее время в промышленности все шире внедряются устройства из пьезоматериалов с неоднородной поляризацией [1, 2]. При этом одной из главных проблем является определение зависимости изменения характеристик материала от координат, среди которых наибольшей изменчивостью обладают пьезохарактеристики, такие как пьезомодули.

В настоящей работе предлагается схема определения зависимости изменения пьезомодуля  $d_{31}(x_1)$  в случае задания амплитудного значения тока от частоты колебаний в некотором диапазоне ее изменения. Задача сводится к нелинейному интегральному уравнению 1-го рода; решение строится на основе сочетания методов линеаризации и регуляризации А. Н. Тихонова.

1. Рассмотрим колебания пьезокерамического стержня, ориентированного вдоль оси  $Ox_1$ , имеющего электроды, расположенные на поверхностях, перпендикулярных оси  $x_3$ . Считаем, что его длина  $l$  много больше его толщины  $h$  и ширины  $b$ . Тогда задача будет одномерной и зависимостью компонент тензора напряжений  $\sigma_{ij}$  и вектора напряженности электрического поля  $E_i$  от координат  $x_2, x_3$  можно пренебречь. Поскольку на поверхностях с электродами  $E_1 = E_2 = 0$ , то при  $h/l \ll 1$  можно считать, что  $E_1 = E_2 = 0$  всюду в объеме стержня. Из компонент тензора напряжений отлична от нуля лишь компонента  $\sigma_{11}$ . Кроме того, считаем, что из-за частичной располяризации стержня (например, в результате действий на пьезоэлемент неоднородного теплового поля с температурой выше точки Кюри конец  $x_1 = l$  может быть вообще располяризован, т. е.  $d_{31}(l)$  равен нулю) пьезомодуль  $d_{31}$  уже не постоянен, а представляет собой некоторую убывающую функцию координат  $d_{31} = d_{31}(x_1)$ . При этом также считаем, что упругий модуль и диэлектрическая проницаемость постоянны. В этом случае уравнения состояния [3] имеют вид

$$\frac{\partial u_1}{\partial x_1} = s_{11}^E \sigma_{11} + d_{31}(x_1) E_3, \quad D_3 = d_{31}(x_1) \sigma_{11} + \varepsilon_{33}^\sigma E_3 \quad (1.1)$$

( $\varepsilon$  — коэффициент диэлектрической проницаемости), а из уравнений электроупругости остается одно уравнение

$$\frac{\partial \sigma_{11}}{\partial x_1} = \rho \frac{\partial^2 u_1}{\partial t^2}, \quad (1.2)$$

так как уравнение  $\operatorname{div} D = 0$  удовлетворяется тождественно.

Считая, что концы стержня  $x_1 = 0, l$  свободны от механических напряжений, найдем связь между током  $I(t) = -\frac{\partial}{\partial t} \int D_3 dx$  и напряженностью поля  $E_3(x, t) = E(t)$ .

Исключая перемещение  $u_1(x_1, t)$  из (1.1), (1.2), получим краевую задачу

$$\frac{\partial^2 \sigma_{11}}{\partial x_1^2} = \frac{1}{c^2} \frac{\partial^2 \sigma_{11}}{\partial t^2} + \rho d_{31}(x_1) \frac{\partial^2 E}{\partial t^2}, \quad \sigma_{11}|_{x=0, l} = 0, \quad \sigma_{11}|_{t < 0} = 0, \tag{1.3}$$

$$I(t) = -\frac{\partial}{\partial t} \left[ \int_0^l d_{31}(x_1) \sigma_{11}(x_1, t) dx_1 + \varepsilon_{33}^{\sigma} E(t) l \right] b,$$

где  $c^2 = 1/(\rho s_{11}^E)$ .

Поставим обратную задачу об определении пьезомодуля  $d_{31}(x_1)$  по заданию тока  $I(t)$ ,  $0 \leq t \leq T$  либо по амплитудной его составляющей как функции частоты колебаний. Одним из наиболее распространенных способов решения таких задач в нестационарном случае является сведение к интегральному уравнению Вольтерра [4, 5].

**ЗАМЕЧАНИЕ.** Постановка обратной задачи об определении функции по известному полю смещений на одном из концов стержня хорошо изучена [4, 5], однако на практике снятие амплитудно-частотной характеристики тока — гораздо более простой эксперимент, чем определение амплитудно-частотной характеристики смещений.

Получим разрешающее соотношение для определения  $d_{31}(x_1)$  в случае установившихся колебаний стержня.

2. Рассмотрим простейший случай, когда возбуждение стержня гармоническое, т. е.  $E(t) = E_0 e^{i\omega t}$ ,  $I(t) = I_0 e^{i\omega t}$ . Найдем амплитуду тока  $I_0$  и проводимость стержня  $Z$ :

$$\frac{1}{Z} = \frac{I_0}{E_0 h} = -i B_0 \Omega R(\Omega); \tag{2.1}$$

$$R(\Omega) = 1 - \frac{k^2}{\sin \Omega} F(\Omega),$$

$$F(\Omega) = \Omega \int_0^1 f(y) \left[ \int_0^1 f(\eta) \sin(\Omega(\eta - 1)) d\eta \sin(\Omega y) - \int_0^y \sin(\Omega(\eta - y)) f(\eta) d\eta \sin \Omega \right] dy, \tag{2.2}$$

$$\Omega \in [\Omega_1, \Omega_2].$$

Здесь введены безразмерные величины и функции

$$\Omega = \frac{\omega l}{c}, \quad B_0 = \frac{\varepsilon_{33}^{\sigma} b c}{h}, \quad k^2 = \frac{d_{31}^2(0)}{\varepsilon_{33}^{\sigma} s_{11}^E}, \quad f(y) = \frac{d_{31}(x_1)}{d_{31}(0)}, \quad y = \frac{x_1}{l}.$$

Условие  $R(\Omega) \rightarrow \infty$  определяет, как известно, частоты резонанса системы

$$\sin \Omega = 0 \quad \Rightarrow \quad \Omega_n = \pi n, \quad \omega_n = \frac{\pi n}{l \sqrt{\rho s_{11}^E}}, \quad n = 1, 2, \dots$$

Отметим, что эти частоты не зависят от изменения  $d_{31}(x_1)$  и располяризация не меняет резонансов системы.

Условие  $R(\Omega) = 0$  определяет частоты антирезонанса системы, которые существенным образом зависят от  $d_{31}(x_1)$ . Уравнение для определения частот антирезонанса имеет вид

$$\sin \Omega - k^2 \Omega \int_0^1 f(y) \left[ \int_0^1 \sin(\Omega(\eta - 1)) f(\eta) d\eta \sin(\Omega y) - \int_0^y \sin(\Omega(\eta - y)) f(\eta) d\eta \sin \Omega \right] dy = 0,$$

оно может служить для получения некоторой информации о функции  $d_{31}(x_1)$ .

Сформулируем обратную задачу об определении функции  $f(y) \in U = L_2[0, 1] \cap M[0, 1]$  [6]. Здесь  $L_2[0, 1]$  — пространство суммируемых с квадратом на  $[0, 1]$  функций;  $M[0, 1]$  — пространство положительных монотонно убывающих на  $[0, 1]$  функций, что обусловлено физическими свойствами искомой функции  $f(y)$ .

Далее в качестве исходной информации считаем заданной функцию  $F(\Omega) = F_*(\Omega)$  на отрезке  $\Omega \in [\Omega_1, \Omega_2]$ , которая выражается через амплитудную характеристику тока  $\Omega R(\Omega)$  из соотношения (2.2).

Таким образом, поставленная обратная задача сводится к решению нелинейного интегрального уравнения относительно неизвестной функции  $f(y) \in U$ :

$$A(f) = \Omega \int_0^1 f(y) \left[ \int_0^1 f(\eta) \sin(\Omega(\eta - 1)) d\eta \sin(\Omega y) - \int_0^y \sin(\Omega(\eta - y)) f(\eta) d\eta \sin \Omega \right] dy = F_*(\Omega), \quad \Omega \in [\Omega_1, \Omega_2]. \quad (2.3)$$

Исследуем вопрос о единственности решения интегрального уравнения (2.3). Покажем, что при некоторых ограничениях на отрезок  $[\Omega_1, \Omega_2]$  его решение единственно в  $U$ . Предположим противное, т. е. что уравнение (2.3) имеет два тождественно неравных решения  $f_1, f_2 \in U$ . Далее в  $L_2[0, 1]$  представим оператор  $A(f)$  в виде скалярного произведения  $A(f) = (A_0 f, f)$ , где  $A_0$  — линейный оператор с симметричным ядром:

$$A_0(\Omega, y, \eta) = \Omega \begin{cases} \sin(\Omega(\eta - 1)) \sin(\Omega y), & y < \eta, \\ \sin(\Omega y) \sin(\Omega(y - 1)), & y > \eta. \end{cases}$$

Нетрудно видеть, что  $(A_0 f, f) \leq 0$ , по крайней мере, при  $0 < \Omega < \pi$ , причем равенство нулю возможно лишь при  $f = 0$ . Используя это свойство, а также условие  $(A_0 f_1, f_1) = (A_0 f_2, f_2)$ , установим неравенства

$$\begin{aligned} (A_0(f_1 - f_2), f_1 - f_2) &= 2(A_0 f_1, f_1 - f_2) \leq 0, \\ (A_0(f_1 - f_2), f_1 - f_2) &= 2(A_0 f_2, f_2 - f_1) \leq 0. \end{aligned}$$

Поскольку  $A_0 f_1 > 0$ ,  $A_0 f_2 > 0$  при  $0 < \Omega < \pi$ , из последних двух неравенств следует  $f_1 - f_2 = 0$ . Таким образом, единственность установлена.

**3.** Известно, что процедура решения нелинейного уравнения (2.3) является некорректной задачей [7], поэтому необходимо использовать регуляризующие алгоритмы. Построим решение (2.3) в два этапа на основе подхода, сочетающего основные идеи методов линеаризации и регуляризации А. Н. Тихонова.

На первом этапе строится решение уравнения (2.3) в классе линейных невозрастающих функций

$$f = f_0(y) = a_0 + a_1 y, \quad (3.1)$$

причем из физических соображений получаем следующие априорные ограничения на константы  $a_0$  и  $a_1$ :  $0 \leq a_0 \leq 1$ ,  $a_1 \leq 0$ ,  $a_0 + a_1 \geq 0$ , которые определяют треугольник  $U_0$  на плоскости  $(a_0, a_1)$ .

Значения постоянных  $a_0, a_1$  находятся из условия минимума неквадратичного функционала

$$\Phi = \int_{\Omega_1}^{\Omega_2} |A(f_0) - F|^2 d\Omega$$

на множестве априорных ограничений  $U_0$ .

Отметим, что в этом случае интегралы в выражении для оператора  $A(f_0)$  легко вычисляются и  $A(f_0) = F_0(\Omega)$ , где  $F_0(\Omega) = a_0^2\alpha_0(\Omega) + a_0a_1\alpha_1(\Omega) + a_1^2\alpha_2(\Omega)$  и введены следующие обозначения:

$$\alpha_0(\Omega) = -2 \sin(\Omega/2) \left( \frac{2 \sin(\Omega/2)}{\Omega} - \cos(\Omega/2) \right) = \alpha_1(\Omega), \quad \alpha_2(\Omega) = -\frac{\sin \Omega}{\Omega^2} + \frac{1}{3} \sin \Omega + \frac{\cos \Omega}{\Omega}.$$

Таким образом, имеем задачу о нахождении минимума функции  $\Phi(a_0, a_1)$  в области  $U_0$ , которая решается стандартным методом.

В соответствии с процедурой линеаризации [4] на втором этапе следующее приближение  $f_1(y) = f(y) - f_0(y)$  находится по известной схеме Ньютона — Канторовича [8]

$$A(f) = A(f_0) + A'(f_0)f_1,$$

где производная оператора в смысле Гато находится из определения

$$A'(f_0)f_1 = \lim_{t \rightarrow 0} \frac{A(f_0 + tf_1) - A(f_0)}{t}$$

и равна

$$A'(f_0)f_1 = \Omega \left[ \int_0^1 f_0(y) \left( \int_0^1 f_1(\eta) \sin(\Omega(\eta - 1)) d\eta \sin(\Omega y) - \int_0^y \sin(\Omega(\eta - y)) f_1(\eta) d\eta \sin \Omega \right) dy + \right. \\ \left. + \int_0^1 f_1(y) \left( \int_0^1 f_0(\eta) \sin(\Omega(\eta - 1)) d\eta \sin(\Omega y) - \int_0^y \sin(\Omega(\eta - y)) f_0(\eta) d\eta \sin \Omega \right) dy \right]. \quad (3.2)$$

Для нахождения функции  $f_1(y)$  получим линейное интегральное уравнение Фредгольма 1-го рода

$$K f_1 = \int_0^1 K(y, \Omega) f_1(y) dy = g_1(\Omega), \quad \Omega \in [\Omega_1, \Omega_2], \quad (3.3)$$

причем  $g_1(\Omega) = F_*(\Omega) - A(f_0)$ , а ядро  $K(y, \Omega)$  вычисляется исходя из (3.2):

$$K(y, \Omega) = \Omega \left[ \sin(\Omega(y - 1)) \int_0^1 f_0(\eta) \sin(\Omega\eta) d\eta - \sin \Omega \int_y^1 \sin(\Omega(y - \eta)) f_0(\eta) d\eta + \right. \\ \left. + \int_0^1 f_0(\eta) \sin(\Omega(\eta - 1)) d\eta \sin(\Omega y) - \int_0^y \sin(\Omega(\eta - y)) f_0(\eta) d\eta \sin \Omega \right]. \quad (3.4)$$

Для линейной функции  $f_0(y)$  (3.1) интегралы в (3.4) вычисляются, и после упрощения получим выражение для ядра

$$K(y, \Omega) = a_0[(1 - \cos \Omega)(\sin(\Omega(y - 1)) - \sin(\Omega y)) + \sin \Omega(2 - \cos(\Omega(y - 1)) - \cos(\Omega y))] - \\ - a_1[\cos \Omega \sin(\Omega(y - 1)) + \sin(\Omega y) - \sin \Omega(2y - \cos(\Omega(y - 1)))], \quad (3.5)$$

которое представляет собой гладкую функцию на  $[0, 1] \times [\Omega_1, \Omega_2]$ . Заметим, что  $K(0, \Omega) = K(1, \Omega) = 0$ .

Итак, задача нахождения функции  $f_1(y)$  свелась к проблеме решения линейного интегрального уравнения Фредгольма 1-го рода с гладким ядром (3.4). Известно, что процедура обращения такого оператора представляет собой некорректную задачу [7] и требует регуляризации в той или иной форме.

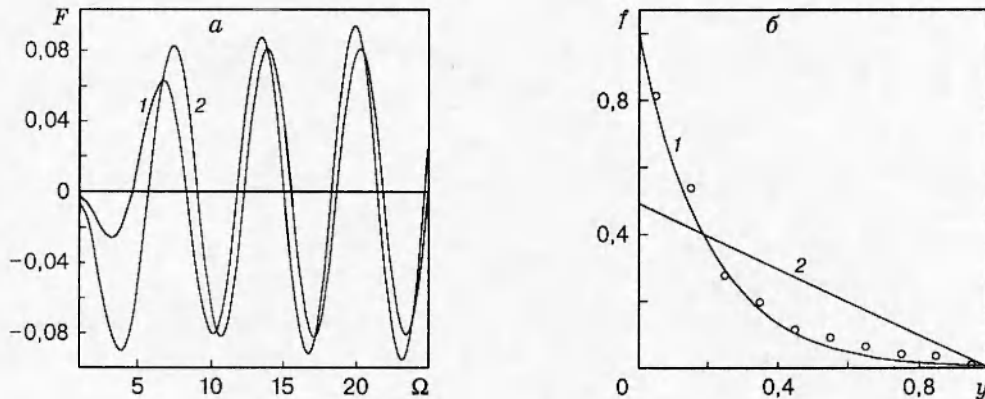


Рис. 1

4. При численном решении использовалась регуляризация интегрального уравнения (3.3) методом А. Н. Тихонова с помощью дискретизации краевой задачи для уравнения Эйлера и дальнейшего решения получающейся при этом системы линейных алгебраических уравнений [7]. Проведена серия численных экспериментов для различных видов функции  $f(y)$ . В статье рассматриваются три случая:

А.  $f(y) = \exp(-\lambda y)$ .

(4.1)

Б.  $f(y) = b_0 y^3 + b_1 y^2 + b_2 y + b_3$ .

В.  $f(y) = \begin{cases} \delta_1, & 0 \leq y \leq x_1, \\ \frac{\delta_2 - \delta_1}{x_3 - x_1}(y - x_1) + \delta_1, & x_1 \leq y \leq x_3, \\ \delta_2, & x_3 \leq y \leq 1. \end{cases}$

Для случая А на рис. 1,а для  $\lambda = 5$  представлены зависимости входной характеристики  $F_*(\Omega)$  (кривая 1), вычисленной с использованием функции (4.1), и  $F_0(\Omega)$  (кривая 2), вычисленной для линейной функции  $f_0(y)$  (3.1) при  $a_0 = 0,4924$ ,  $a_1 = -a_0$ , которые доставляют наименьшее значение функционалу  $\Phi$  в области  $U_0$ . На рис. 1,б изображены графики функций  $f(y)$  и  $f_0(y)$  (кривые 1 и 2), а также  $f_N(y) = f_0(y) + f_1(y)$  — точки. При решении интегрального уравнения (3.3) для нахождения  $f_1(y)$  взято  $N = 10$  точек коллокации. Отметим, что при увеличении  $N$  с 5 до 10 поправки не превышают 5%, решение оказалось устойчиво относительно параметра регуляризации  $\alpha$  в пределах  $[10^{-5}; 0,01]$ . В связи с замечанием о поведении ядра (3.5) на границе его области определения целесообразно выбирать точки коллокации, не выходящие на границу  $y = 0; 1$ , что и сделано в численных расчетах.

В случае Б на восстанавливаемой кривой существует точка перегиба. Функция  $f(y)$  имеет максимум при  $y = 0$  и минимум при  $y = 1$ . При этом  $b_0 = 1,98$ ,  $b_1 = -2,97$ ,  $b_2 = 0$ ,  $b_3 = 1$ . Зависимости, аналогичные описанным выше, представлены на рис. 2. Найдено  $a_0 = 1$ ,  $a_1 = -0,9379$ . Относительная погрешность при восстановлении формы  $f(y)$  не превышала 3% начиная с  $N = 5$ ,  $\alpha \in [10^{-5}; 0,01]$ .

В случае В восстанавливаемая функция является кусочно-линейной. Численные расчеты показали, что погрешность в восстановлении увеличивается, когда угол наклона линейной части  $f(y)$  при  $y \in [x_1, x_3]$  приближается к  $\pi/2$ . На рис. 3 представлены аналогичные случаю А зависимости для  $x_1 = 0,3$ ,  $x_3 = 0,7$ ,  $\delta_1 = 0,95$ ,  $\delta_2 = 0,07$ . Максимальная погрешность при этом составляет 10%. Найдены  $a_0 = 1$ ,  $a_1 = 0,8966$ . Расчеты проведены при  $N = 10$  и параметре регуляризации  $\alpha = 0,01$ .

Отметим, что исследуемая в работе задача о восстановлении функции  $f(y)$  при апри-

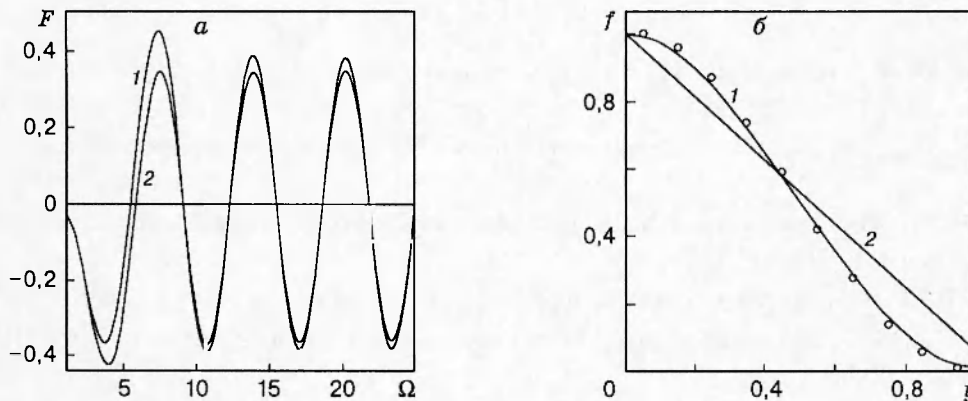


Рис. 2

орных физических данных о ее поведении может рассматриваться как некорректно поставленная задача на множестве специальной структуры и решаться алгоритмами, предложенными в [9]. В работе также предпринят подход, в котором нахождение функций  $f_0(y)$  и  $f_0(y) + f_1(y)$  рассматривается как нулевой и первый шаги итерационного процесса. При этом расчеты показали, что погрешность на втором шаге в случае В не превышает 5% против 10% для первого шага.

Как отмечалось выше, исходной информацией для восстановления пьезомодуля  $d_{31}(x_1)$  является функция  $F(\Omega)$ , введенная согласно соотношениям (2.1), (2.2), которая может быть найдена в результате эксперимента (измерения проводимости образца в зависимости от частоты колебаний). В этой связи естественно проверить влияние погрешности измерений на устойчивость разработанного подхода.

С этой целью в случае А в функцию  $F(\Omega)$  были внесены возмущения, и форма восстанавливалась по функции  $F_2(\Omega)$ , заданной соотношением

$$F_2(\Omega) = F(\Omega) + \epsilon B H(\Omega) \quad \text{при} \quad \Omega \in [\Omega_1, \Omega_2],$$

где  $\epsilon$  — некоторый параметр;  $B$  — характерное амплитудное значение функции  $F(\Omega)$ ;  $H(\Omega)$  — некоторая случайная функция, причем  $|H(\Omega)| \leq 1$ . Расчеты, проведенные для  $\epsilon = 0,1$ ,  $H(\Omega) = \sin(10\Omega)$  при числе точек коллокации  $N = 10$  и  $\alpha = 0,5 \cdot 10^{-5}$ , показали, что погрешность приближения не больше 5%, т. е. не превышает погрешность, внесенную в функцию  $F_2(\Omega)$ .

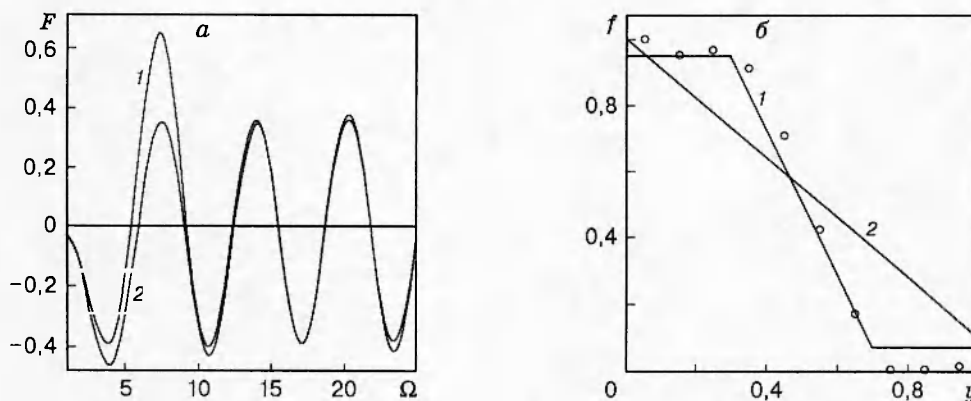


Рис. 3

## ЛИТЕРАТУРА

1. Домаркас В. И., Кажис Р. И. Контрольно-измерительные пьезоэлектрические преобразователи. Вильнюс: Минтис, 1974.
2. Кажис Р. И. Ультразвуковые информационно-измерительные системы. Вильнюс: Мокслас, 1986.
3. Партон В. З., Кудрявцев Б. А. Электромагнитоупругость пьезоэлектрических и электропроводных тел. М.: Наука, 1988.
4. Романов В. Г. Обратные задачи математической физики. М.: Наука, 1984.
5. Яхно В. Г. Обратные задачи для дифференциальных уравнений упругости. Новосибирск: Наука, 1990.
6. Денисов А. М. Введение в теорию обратных задач. М.: Изд-во Моск. ун-та, 1994.
7. Тихонов А. Н., Арсенин В. Я. Методы решения некорректных задач. М.: Наука, 1986.
8. Канторович Л. В., Акилов Г. П. Функциональный анализ. М.: Наука, 1977.
9. Тихонов А. Н., Гончарский А. В., Степанов В. В., Ягола А. Г. Численные методы решения некорректных задач. М.: Наука, 1990.

*Поступила в редакцию 10/IV 1997 г.,  
в окончательном варианте — 30/VI 1997 г.*

---